

## Località→ SPIGNO MONFERRATO

<b>DURATA</b>	<b>12h</b>
<b>Valore indice</b>	<b>MEDIANA</b>
<b>Localizzazione del dato</b>	<b>X=448514</b>
	<b>Y=4933260</b>
<b>L</b>	<b>10</b>
<b>Equazione minima stimata</b>	<b>128</b>
<b>Raggio (km)</b>	<b>56.3</b>
<b>Numerosità network</b>	<b>80</b>
<b>Numerosità</b>	<b>61</b>

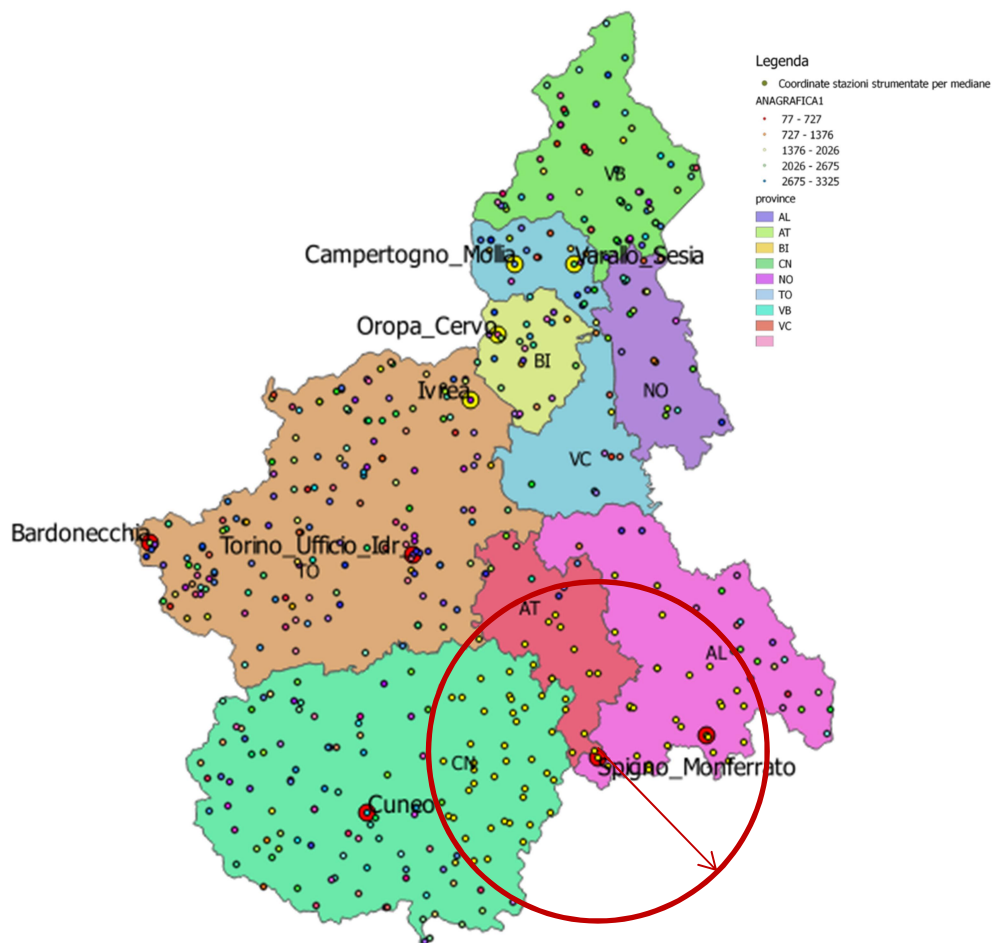


Figura 1: Rappresentazione del numero complessivo di dati utilizzati per l'analisi.

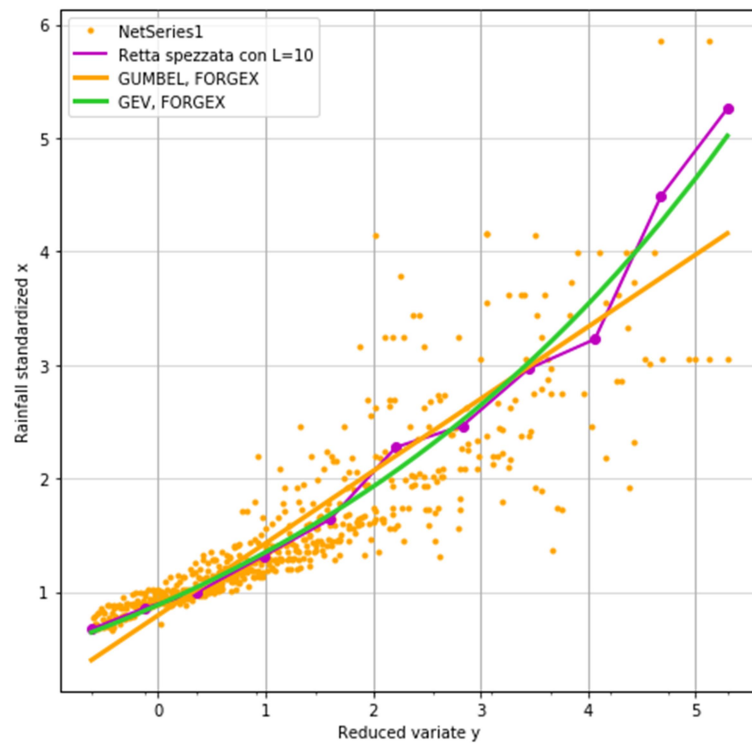


Figura 2: rappresentazione della curva che meglio si adatta alla spezzata in oggetto.

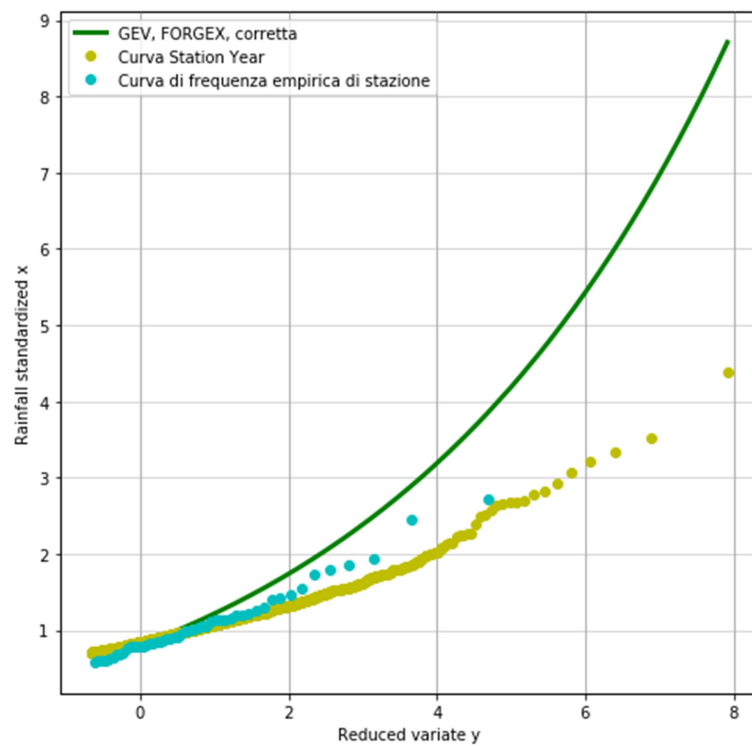


Figura 3: rappresentazione della distribuzione ottenuta e delle differenti curve di frequenza empirica

Località	Parametri De Michele-Rosso			Kriging		FORGEX		
	Alfa	Epsilon	k	Theta2*	theta3	Alfa	Epsilon	k
Spigno Monferrato	0.313	0.764	-0.154	0.35067	-0.11512	0.416	0.885	-0.217

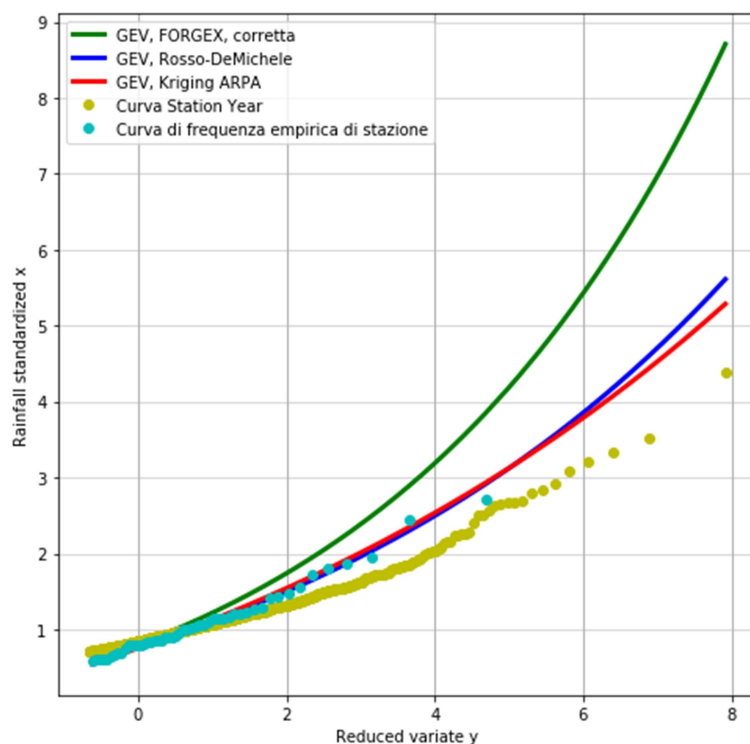


Figura 4: rappresentazione delle GEV per i differenti metodi in funzione della y. La curva gialla rappresenta la curva di frequenza empirica calcolata sull'intero set di dati.

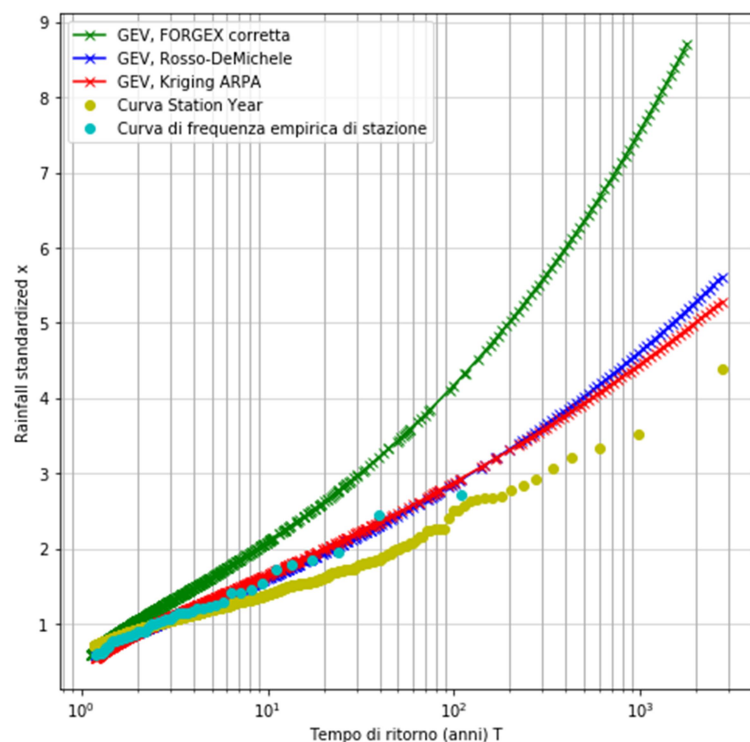


Figura 5: rappresentazione della GEV per i differenti metodi in funzione del periodo di ritorno.

Località	Valore medio	Valore mediano
Spigno Monferrato	66.36217	59.8

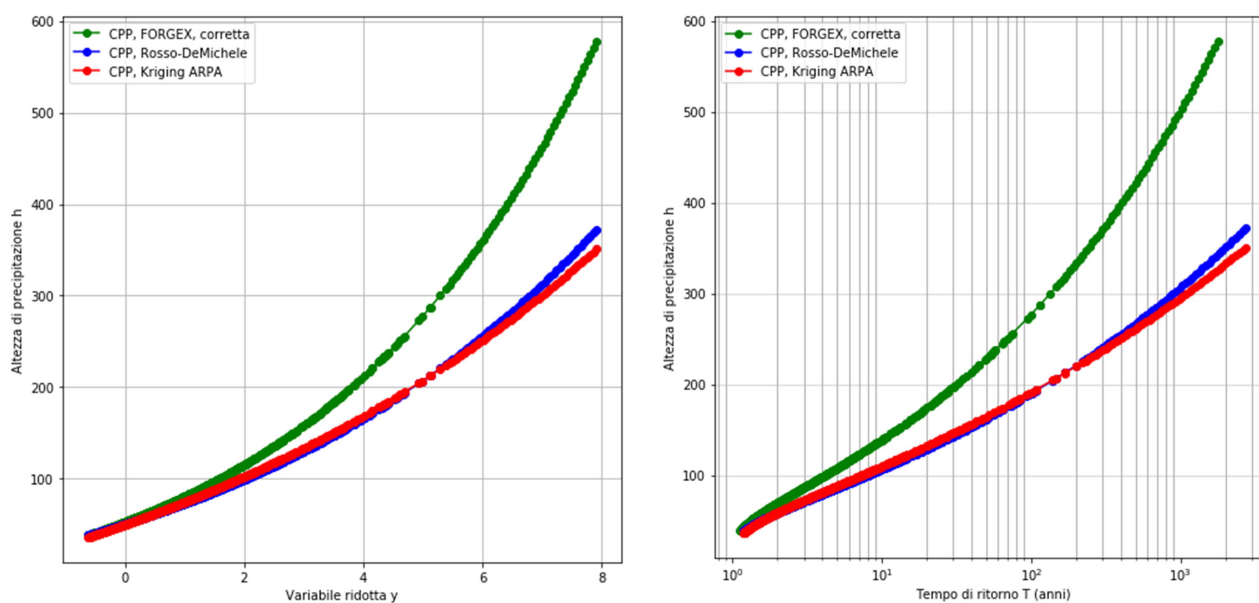


Figura 6: Rappresentazione delle curve di possibilità pluviometrica con i differenti metodi.

